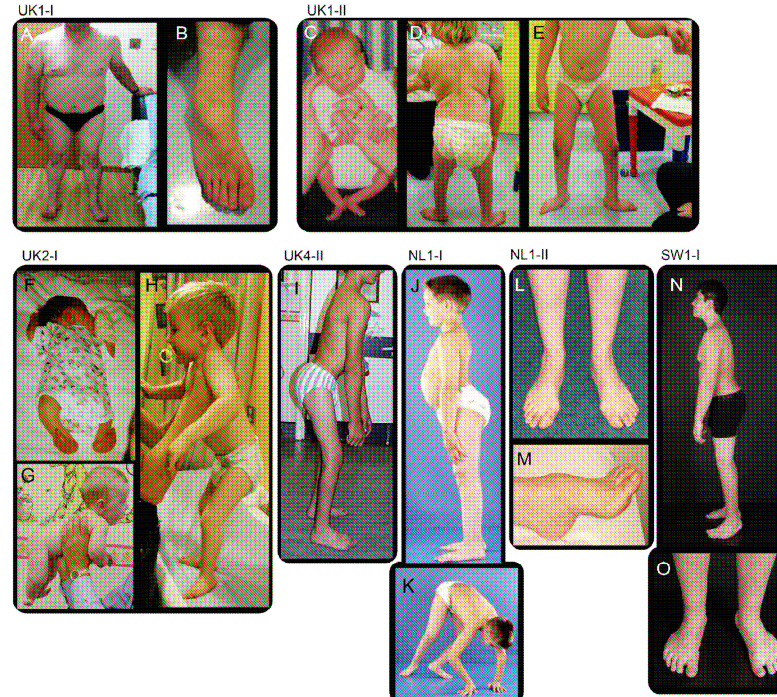


Atrofia muscular espinal no ligada al gen SMN1



Ana Camacho
Sección de Neurología Infantil

Objetivos

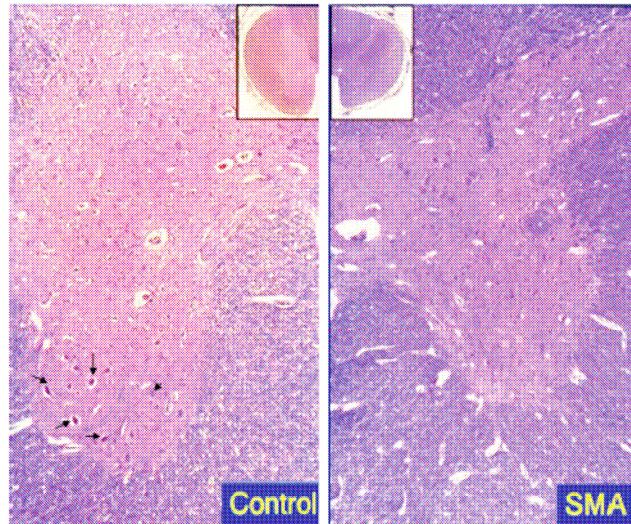
- **¿Qué es la AMS no ligada a SMN1?**
- **Clasificación**
- **Tipos principales**
- **Casos clínicos**
- **Conclusiones**

Atrofia muscular espinal

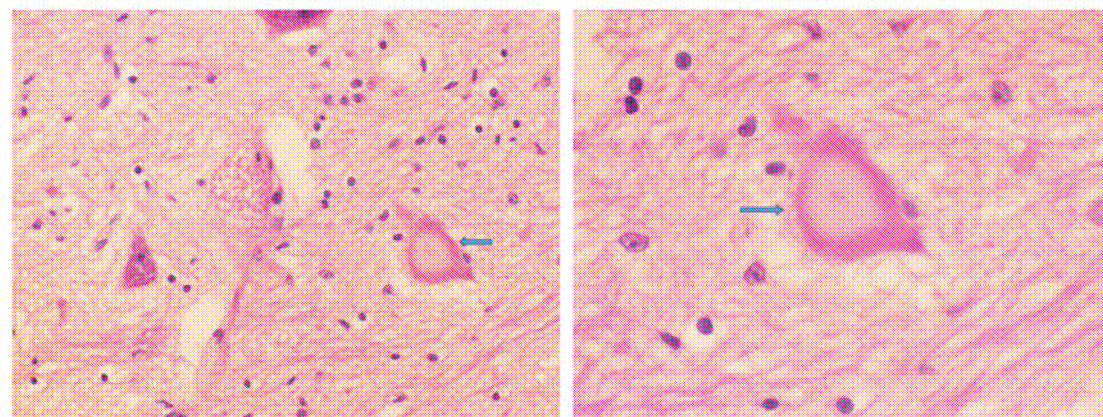
(Hoffmann, 1893; Werdnig, 1891)

- Enfermedad hereditaria
- Degeneración de motoneurona:
 - médula espinal
 - tronco cerebral
- **Deleción en homocigosis SMN1 (5q11.2–q13.3)**
- CK puede estar elevada en formas crónicas de AME
- EMG y Bx muscular: patrón neurógeno

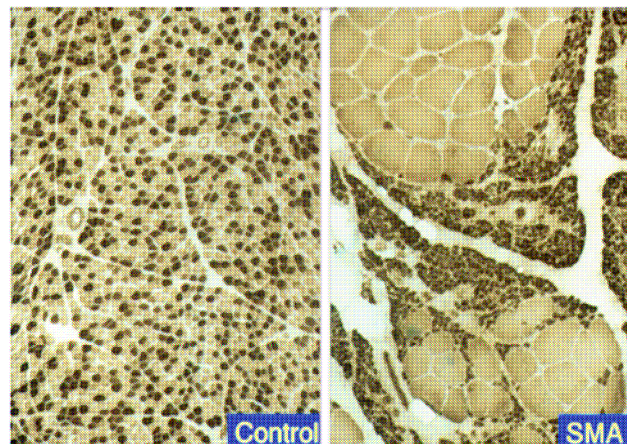
(A)



(B)



(C)



Darras 2014

Atrofia muscular espinal

(Hoffmann, 1893; Werdnig, 1891)

- Tipo 1, grave (Wernig-Hoffmann) < 6 meses
- Tipo 2, intermedia < 18 meses
- Tipo 3, leve > 18 meses
- Tipo 4, adulto (Kugelberg-Welander) 2^a-3^a década

ALS: Hereditary & Familial	HMN	Multisystem disorders
Spinal muscular atrophy (SMA): Types	1: 7q34; Dominant	
Recessive SMA	2: A: HSPB8 (HSPB2); 12q24; Dominant	
SIMN: SIMN 5q	B: HSPB1 (HSP27); 7q11; Dom or Rec	AAA syndrome: Aladin; 12q13 ANE: RBM28; 7q31; Recessive
Congenital with arthrogryposis	C: HSPB3 (HSPL27); 5q11; Dominant	Chediak-Higashi: LYST; 1q42 Hexosaminidase A: HEXA; 15q23; Recessive
Werdnig-Hoffmann	D: FBXO38; 5p31; Dominant	Leukoencephalopathy: SCP2; 1p32
Kugelberg-Welander	E: Upper limb predominance	MND + Dementia & Ophthalmoplegia
SMA + Congenital fractures	F: GARS; 7p15; Dominant	MPAN: c19orf112; Sq12
TRIP4; 15q22	G: REEP1; 2p11.2; Dominant	Dominant
ASCC1; 10q22	H: BSC1L; 11q13; Dominant	Cataracts & Skeletal abnormalities
SMA + Myoclonus Epilepsy: ASAHI; 8q22	I: GHMBP2; 11q13; Recessive	DDPAC: MAPT; 17q21
SMA + Pontocerebellar hypoplasia (ECH)	J: + Vocal cord paralysis, Dominant	Machado-Joseph: Ataxin-3; 14q32
PCH1A: VRK1; 14q32	K: SLC5A7; 2q12	Myopathy + Pacing: HNRNPA2B1; 7p15
PCH1B: EXOSC3; 9p11	L: Dynactin; 2p13	X-linked
Other: EXOSC8; 3q13	M: Congenital Legs: TRPV4; 12q24	Cabezas: CUL4B; Xq23
Mitochondria	N: + Upper motor neuron	Neuroaxonal dystrophy: 2
SCO2; 22q13	O: Senataxin; 9q34; Dominant	Polyglucosan body: GBE1; 3p12
TG: 16q22	P: 4q34; Dominant	Mitochondrial: SCO2
DIGUOK; 2p13	Q: HSPB1; 7q11; Dominant	Sporadic: Caniera-Matruco-Cohen
Congenital contractures	R: BSC1L; 11q13; Dominant	Spastic paraparesis + Motor neuropathy
Dominant: Proximal	S: Dynactin; 2p13; Dominant	
Adult: VAPB; 20q13	T: SPG + Motor neuropathy	
Bulbar	U: 9p21; Recessive	
Congenital + Legs weak	V: HSPB1; 7q11; Dominant	
HMSN-P (Okinawa type): TFG; 3q12	W: BSC1L; 11q13; Dominant	
Respiratory & Proximal arms: MAPT; 17q21	X: Dynactin; 2p13; Dominant	
Scapuloperoneal syndromes	Y: SPG + Motor neuropathy	
SMALED	Z: HMN: 11p; Recessive	
1: Leg predominant: DYNC1H1; 14q32	A: HMN: 16p	
2: Early-onset, Contractures: BICD2; 9q22	B: CMT 2N: AARS; 16q22; Dominant	
X-linked SMA (Recessive)	C: CMT 2O: DYNC1H1; 14q32; Dominant	
Bulbospinal (Kennedy): AR; Xq12	D: Neuromyotonia: HINT1; 5q31; Recessive	
SMAX	E: Childhood: BICD2; 9q22	
2: Infant + Arthrogryposis, UBE1; Xp11	F: Distal SMA (DSMA; dHMN)	
3: Distal: ATP7A; Xq13	G: General	
	H: Recessive	
Bulbar syndromes	I: 1 (SMARD1): IGHMBP2; 11q13	
AAA syndrome: Aladin; 12q13; Recessive	J: 2 (HMN J): 9p21	
Brown-Vialetto-van Laere	K: PLEKHG5; 1p36	
BSSMA: Dominant	L: DNAJB2 (HSJ1); 2q35	
Bulbar ALS	M: SIGMAR1; 9p13	
Fazio-Londe: Recessive or Dominant	N: dHMN: + Ataxia telangiectasia, ATM; 11q22	Lethal congenital contractures
Kennedy (BSSMA): Androgen Receptor: Xq12	O: MND: Distal: VRK1; 14q32	
PLS Juvenile: Alsin; 2q33; Recessive	P: Dominant	
Worster-Drought	Q: Calf predominant: FBXO38; 5p31	
	R: Leg predominant	
	S: Distal/Ulnar-Median	
	T: Childhood: BICD2; 9q22	
	U: + Macular Degeneration: FBLN5; 14q32	
	V: Scapuloperoneal: TRPV4; 12q24	
	W: HARS; 5q31	
	X: X-linked	
	Y: SMAX; 3: ATP7A; Xq13	
	Z: SMARD2; LAS1L; Xq12	
	AA: mtATP6 ± Episodic weakness	
	BB: mtATP8	
	CC: Nonradioactive: Hirayama	

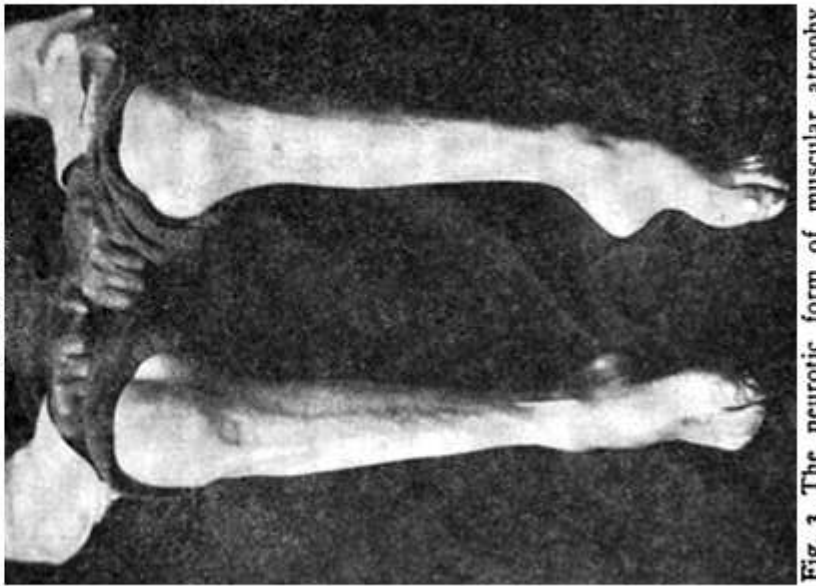


Fig. 3. The neurotic form of muscular atrophy.

Atrofia muscular espinal

4% SMN1-negativas

Distal

precoz

AR

Proximal

tardío

AD

Bulbar

Lig. X

CASO CLÍNICO 1

3 meses

- RNPT (35sem, 1500g). CIR
- Bronquiolitis con 2 meses → fracaso en la extubación y debilidad
- Bradicardia y episodios de sudoración

Bien conectado

Pares craneales normales

Tetraparesia distal

Arreflexia global

No fasciculaciones

-CK normal

-RX tórax: parálisis diafragmática

-EMG: n. motora desmielinizante



Atrofia muscular espinal distal con distrés respiratorio: SMARD1

(Grohmann 2001)

- AR
- Gen: *IGHMBP2*, 11q13
- Manifestaciones clínicas:
 - CIR/prematuridad
 - < 1 año: insuficiencia respiratoria por parálisis diagramática
 - Debilidad distal
 - Acúmulos adiposos en primera falange
 - EMG: neuropatía axonal/mixta: sensitivo-motora
 - Disautonomía
 - Supervivencia marcada por ventilación mecánica
 - Fenotipos variables

Atrofia muscular espinal distal con distrés respiratorio: SMARD1

(Grohmann 2001)

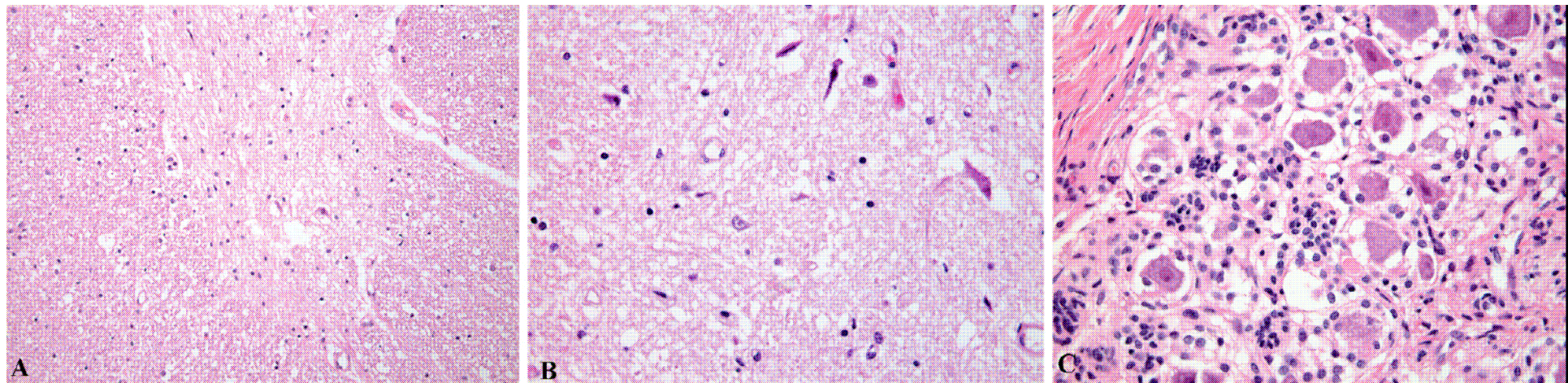
- AR
- Gen: *IGHMBP2*, 11q13
- Manifestaciones clínicas:
 - CIR/prematuridad
 - < 1 año: insuficiencia respiratoria por parálisis diagramática
 - Debilidad distal
 - Acúmulos adiposos en primera falange
 - EMG: neuropatía axonal/mixta: sensitivo-motora
 - Disautonomía
 - Supervivencia marcada por ventilación mecánica
 - Fenotipos variables

Nacen bien
No fx congénitas
No cardiopatía

Spinal muscular atrophy with respiratory distress type 1 (SMARD1)

Report of a Spanish case with extended clinicopathological follow-up

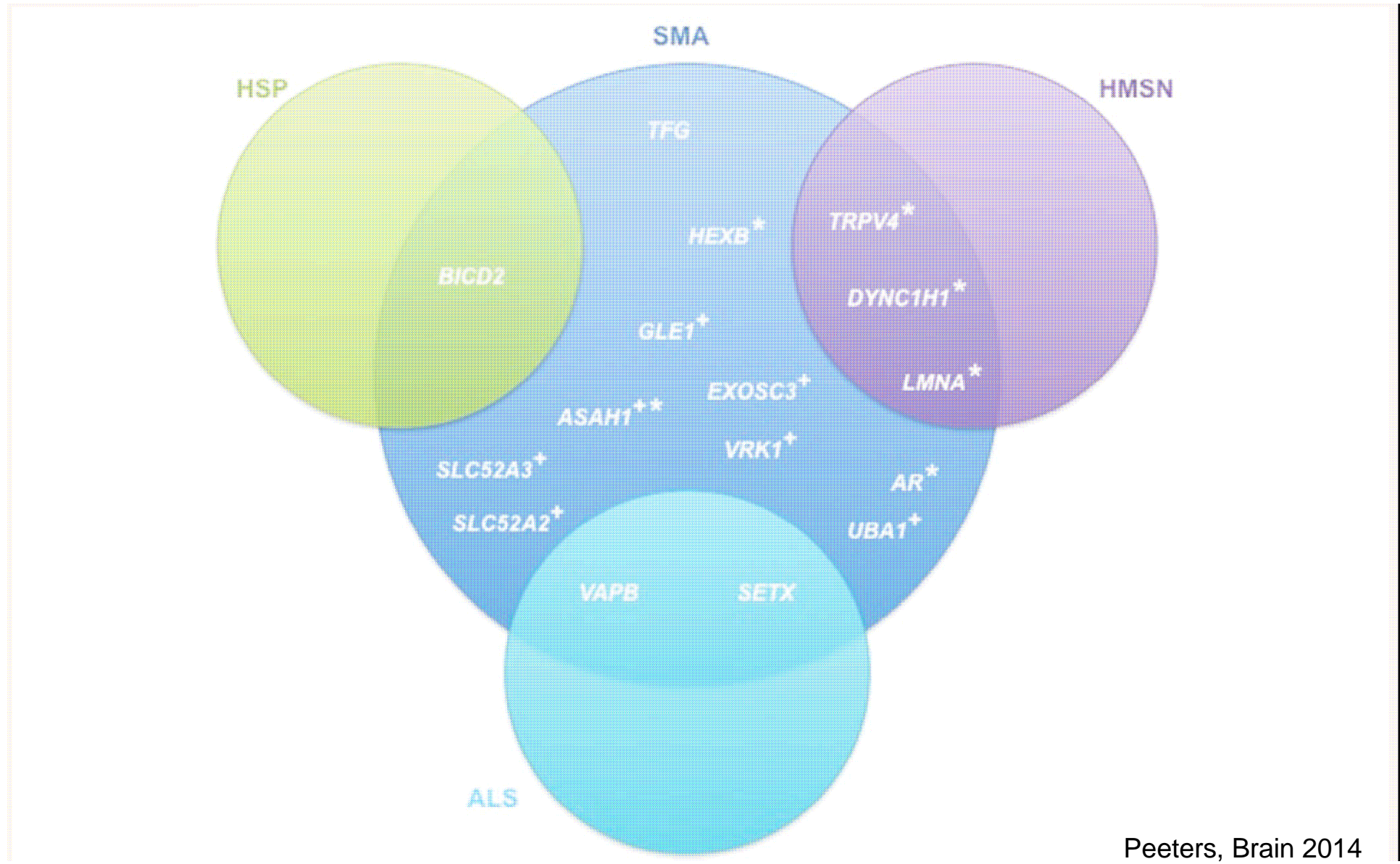
Beatriz San Millan^{1,4}, Jose M. Fernandez^{2,4}, Carmen Navarro^{1,4}, Alfredo Reparaz³,
and Susana Teijeira^{1,4}



Degeneración:

- Motoneuronas del asta anterior medular
- Células ganglionares del ganglio dorsal
- Axonal, nervios periféricos

Formas proximales



Atrofia muscular espinal proximal

- En inicio precoz investigar:
 - Artrogriposis
 - Hipoplasia pontocerebelosa
 - Epilepsia mioclónica
 - Distribución de la debilidad
 - Hipoacusia neurosensorial

AME tipo IA (tipo 0)

- Deleción en homocigosis SMN1 (1 copia SMN2)
- Debut neonatal
 - hipotonía y debilidad graves
 - diparesia facial
 - arreflexia
 - fallo respiratorio
 - contracturas articulares
- EMG y Bx: neurógeno
- Muerte precoz (<6 meses)

“AME con artrogríposis” (*≈AME IA plus*)

- Debut pre/neonatal
 - hipotonía y debilidad graves
 - arreflexia
 - fallo respiratorio
 - contracturas articulares
- EMG y Bx: neurógeno
- Muerte precoz

+/- fracturas congénitas
+/- dismorfia facial
+/- SNC
+/- alteraciones cardio
....

“AME con artrogríposis” (≈AME IA plus)

Tipos	Herencia	Gen
AME prenatal con fracturas congénitas	AR	<i>TRIP4</i> , 15q22 <i>ASCC1</i> , 10q22
AME y artrogríposis letal	AR	<i>GLE1</i> , 9q34.11
AME ligada a X	Lig X	<i>UBA1</i> , Xp11.23
AME congénita con artrogríposis		?

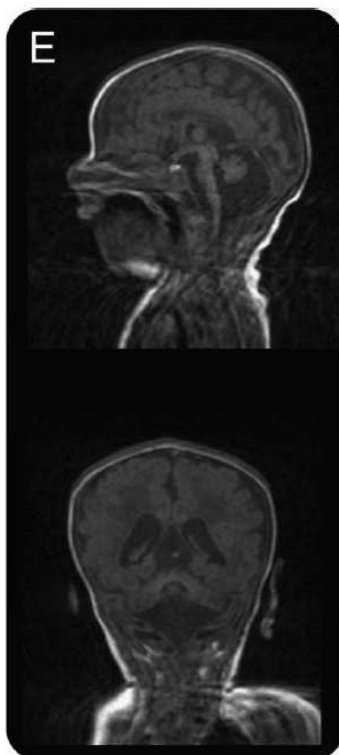
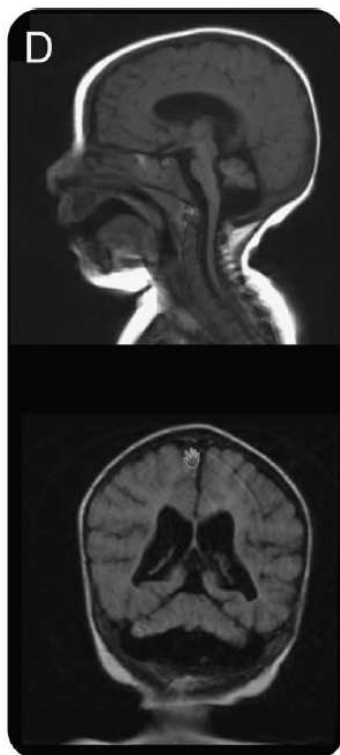
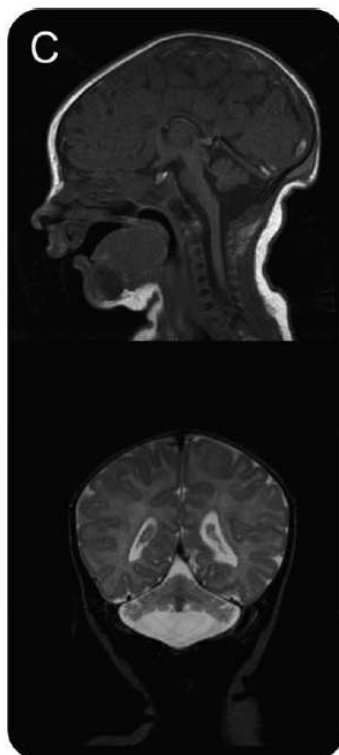
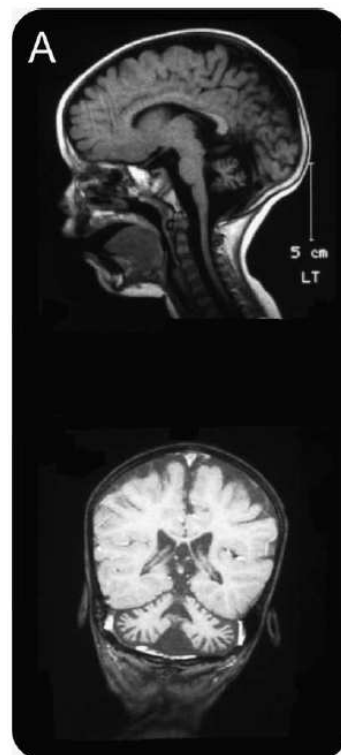
Tipos	Herencia	Gen
Hipoplasia pontocerebelosa 1A	AR	<i>VRK1</i> , 14q32.2
Hipoplasia pontocerebelosa 1B	AR	<i>EXOSC3</i> , 9p13.2

Pontocerebellar hypoplasia type 1

Clinical spectrum and relevance of *EXOSC3* mutations

Neurology® 2013;80:438-446

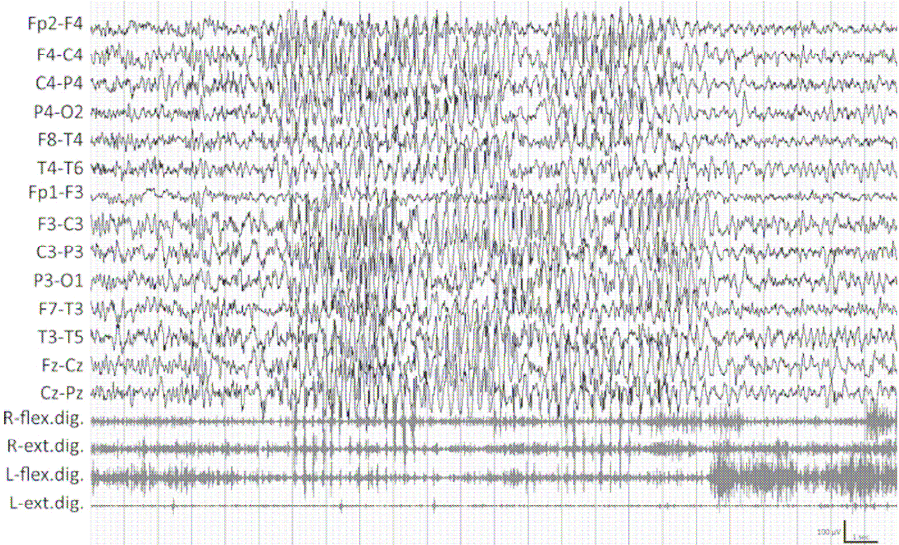
N=37



Atrofia muscular espinal y epilepsia mioclónica progresiva (Zhou 2014)

AME típica

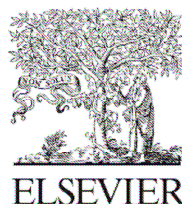
EMP típica



Atrofia muscular espinal y epilepsia mioclónica progresiva (Zhou 2014)

- AR
- Gen: *ASAHI* 8p22
- Alélica con enf. Farber (cermidasa ácida lisosomal)
- Manifestaciones clínicas:
 - Debilidad en la primera infancia (3-4 años). Variable +
 - Epilepsia generalizada en la 2º década: ausencias y mioclonías (sólo en un paciente la epilepsia precede a la debilidad)
 - Retraso mental posible
 - Curso progresivo
 - Muerte precoz por complicaciones respiratorias

Atrofia muscular espinal y epilepsia mioclónica progresiva (Zhou 2014)



Available online at www.sciencedirect.com

ScienceDirect

Neuromuscular Disorders ■■ (2015) ■■–■■



www.elsevier.com/locate/nmd

Case report

Uniparental disomy as a cause of spinal muscular atrophy and progressive myoclonic epilepsy: Phenotypic homogeneity due to the homozygous c.125C>T mutation in *ASAHI*

Beatriz G. Giráldez ^{a,b,1}, Rosa Guerrero-López ^{a,b,1}, Laura Ortega-Moreno ^{a,b}, Alfonso Verdú ^c, M. Carmen Carrascosa-Romero ^d, Óscar García-Campos ^e, Susana García-Muñozguren ^e, José Manuel Pardal-Fernández ^f, José M. Serratosa ^{a,b,*}

^a Neurology Lab and Epilepsy Unit, Department of Neurology, IIS- Fundación Jiménez Díaz, UAM, Madrid, Spain

^b Centro de Investigación Biomédica en Red de Enfermedades Raras (CIBERER), Madrid, Spain

^c Neuropediatric Unit, Hospital Virgen de la Salud, Toledo, Spain

^d Neuropediatric Unit, Complejo Universitario Hospitalario de Albacete, Albacete, Spain

^e Department of Neurology, Complejo Universitario Hospitalario de Albacete, Albacete, Spain

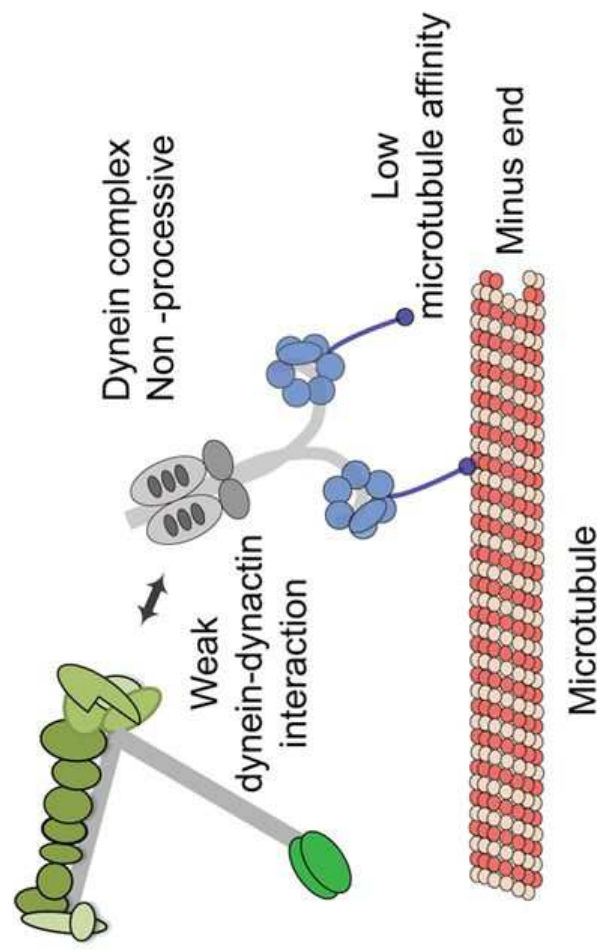
^f Department of Neurophysiology, Complejo Universitario Hospitalario de Albacete, Albacete, Spain

Received 1 July 2014; received in revised form 9 October 2014; accepted 18 November 2014

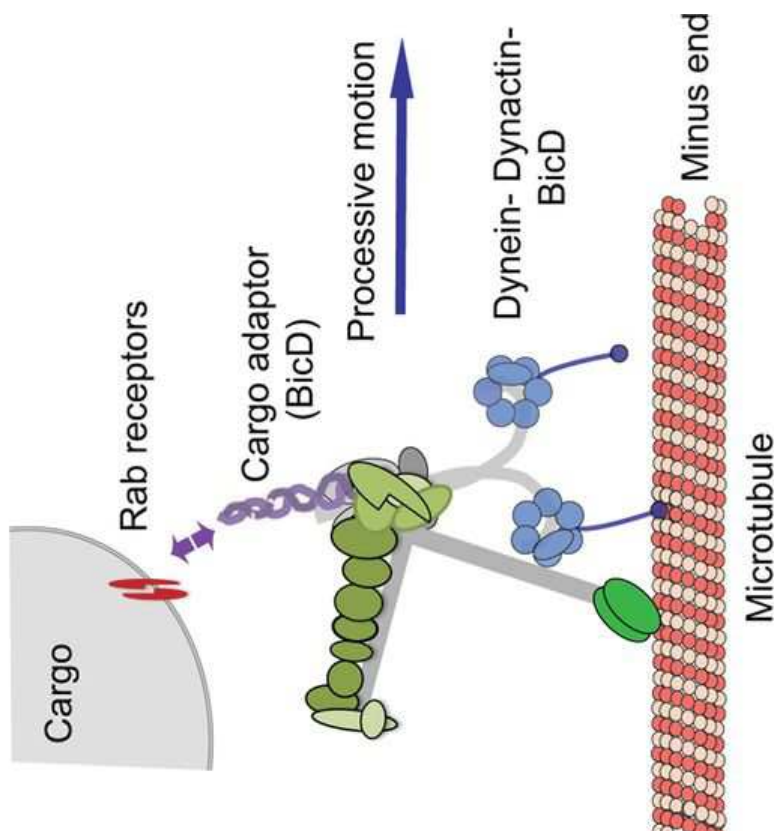
SMALED

- AD: genes **DYNC1H1** (Weedon 2011, Harms 2012) y **BICD2** (Neveling 2013)
- Inicio precoz:
 - < 5 años
 - congénito/artrogríposis
 - adulto
- Debilidad en m. inferiores → retraso en la marcha
- Contracturas
- Deformidades en el pie y atrofia distal, pero debilidad proximal
- Curso estático; suelen mantener la marcha
- No problemas respiratorios

Absence of cargo adaptors:

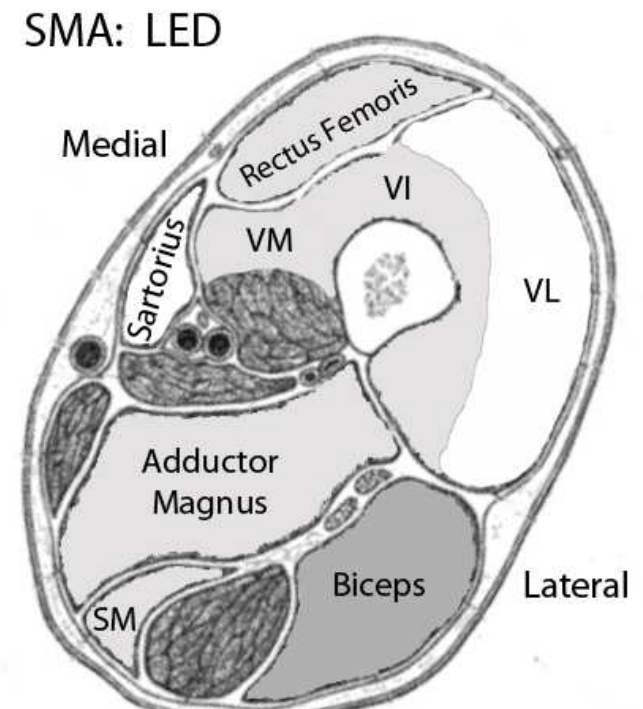


Presence of cargo adaptors:



SMALED

- EMG: denervación crónica + VC N
- Bx muscular: denervación crónica
 - cambios neurógenos y tejido conectivo excesivo
 - cambios pseudomiopáticos y *core-like*
- RMN muscular:
 - Afectación precoz VL y sartorio
 - Hipertrofia AL y ST



Hypertrophy: Adductor Longus; Semitendinosus

SMALED

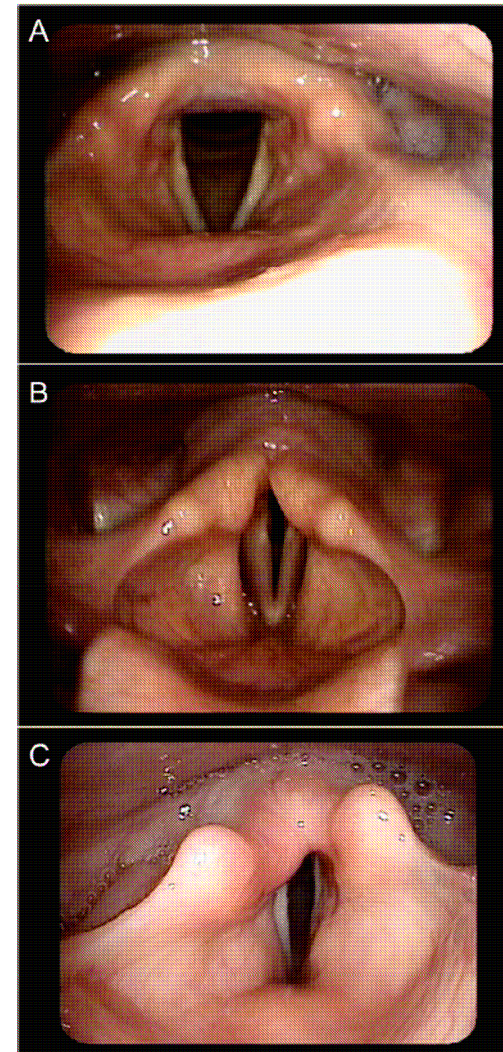
- **DYNC1H1** (14q32.31)
 - Fenotipos:
 - **SMALED tipo1**
 - CMT2O
 - retraso mental AD con trastorno de la migración
- + SNC
1/3 retraso mental y/o TDAH

- **BICD2** (9q22.31)
 - Fenotipos:
 - **SMALED tipo2**
 - SPG
- + contracturas
+ escápula alada
+ signos 1^a motoneurona

Rossor et al, Brain 2014
Scoto et al, Neurology 2015

Atrofia muscular espinal y escáculo-peroneal precoz (Deng 2010)

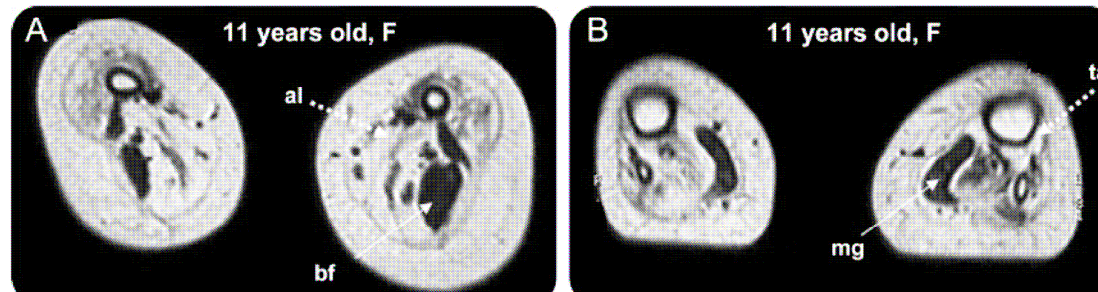
- AD
- Gen: *TRPV4* 12q24.11
- Alélica con CMT2C
- Manifestaciones clínicas:
 - inicio congénito/en la infancia
 - debilidad escáculo-peroneal
 - parálisis de cuerdas vocales
 - poco progresivo
- EMG y Bx: neurógeno



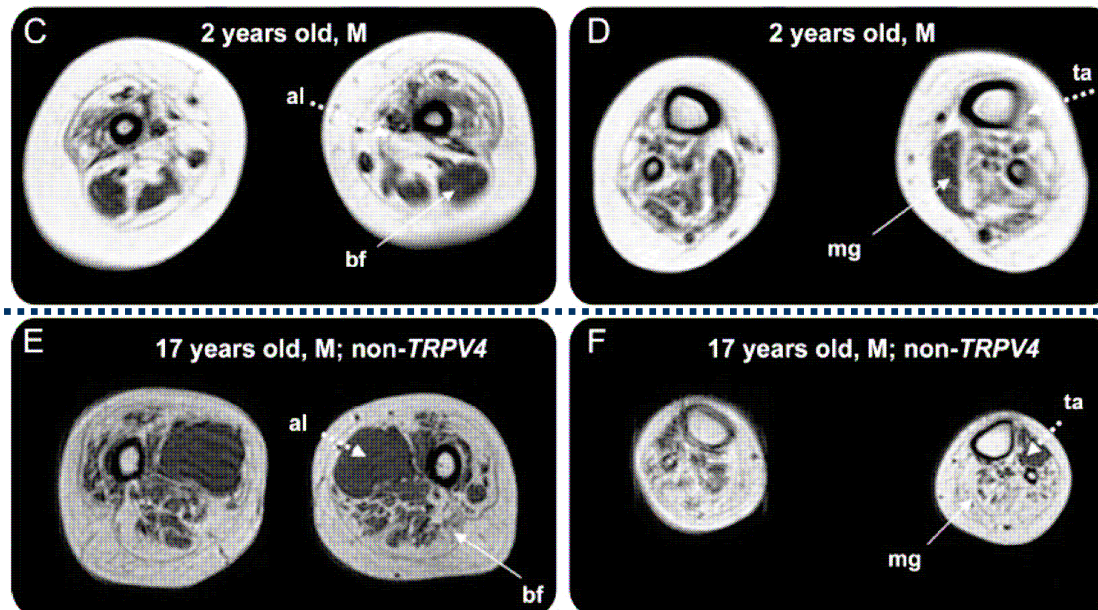
Muscle MRI in *TRPV4*-related congenital distal SMA

Figure Transverse T1-weighted MRI of thighs and calf muscles in distal spinal muscular atrophy (dSMA) patients harboring mutations in transient receptor potential vanilloid 4 (*TRPV4*)

TRPV4



no TRPV4



Parálisis bulbar

**Parálisis
bulbar
progresiva**

**Parálisis
bulbar
progresiva**

+

**Sordera
neurosensorial**

Fazio Londe

**Brown-Vialetto-
van Laere**

Parálisis bulbar

Fazio Londe

- ***SLC52A3***; 20p13; AR

Brown-Vialetto-van Laere

- ***SLC52A3***; 20p13; AR
- ***SLC52A2***; 8q24; AR
- ***UBQLN1***; 9q21; AD



transportador de la riboflavina

FL-BVVL

- Inicio en la infancia
- Debilidad bulbar/pares craneales:
 - ptosis
 - paresia facial
 - disartria, disfagia
 - afectación respiratoria
- Debilidad puede extenderse a extremidades (MMSS)
- BVVL: hipoacusia neurosensorial que precede a la debilidad
- Curso progresivo
 - +/- atrofia óptica
 - +/- ataxia sensorial
 - +/- escoliosis

FL-BVVL

- EMG: PNP axonal sensitivo motora
- Perfil de acilcarnitinas \approx déficit múltiple de CoA deshidrogenasa
- Tratamiento: riboflavina a altas dosis (10-50mg/kg/día)

Conclusiones

- Neronopatía ↔ neuropatía
- Importancia de las manifestaciones clínicas
- Importancia de neuroimagen:
 - RMN craneal: AME pre/neonatal
 - RMN muscular: SMALED y AME escápulo-peroneal
- ¡Consultar con frecuencia <http://neuromuscular.wustl.edu/>!